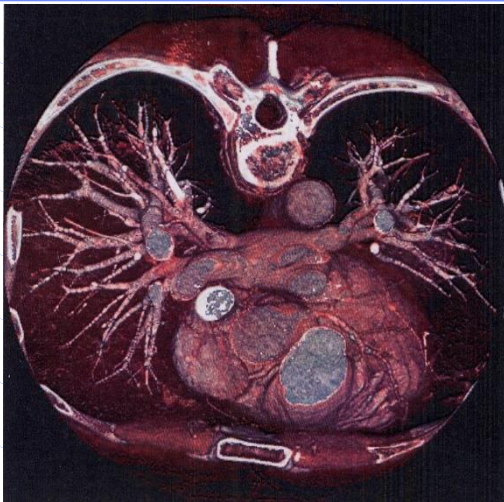


# FORMATION TIC (Phymed, STIC, Télécom)

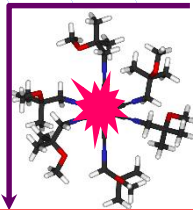
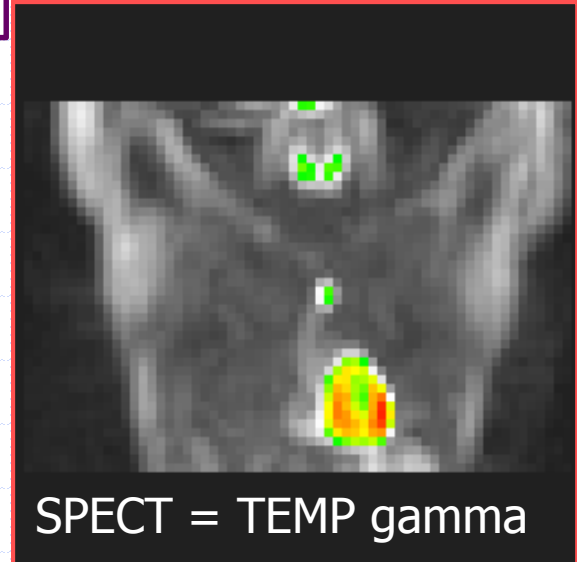
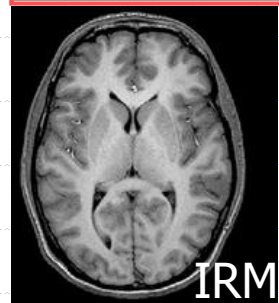
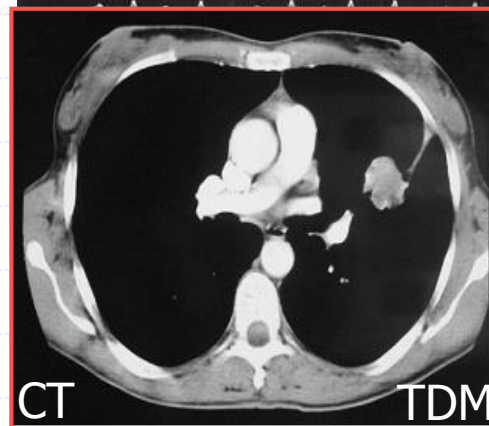
## BASES DE TOMOGRAPHIE MEDICALE



Fayçal Ben Bouallègue - [faybenb@hotmail.com](mailto:faybenb@hotmail.com)

<http://scinti.etud.univ-montp1.fr>

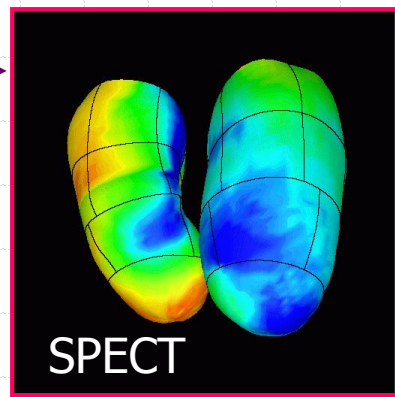
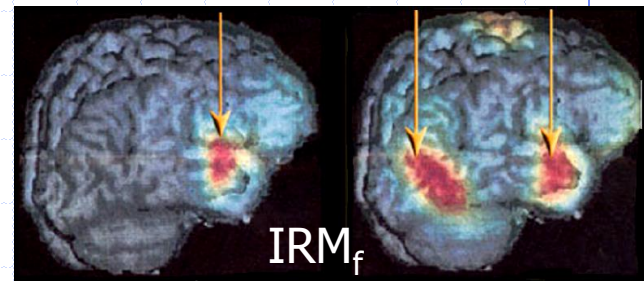
# Imagerie médicale



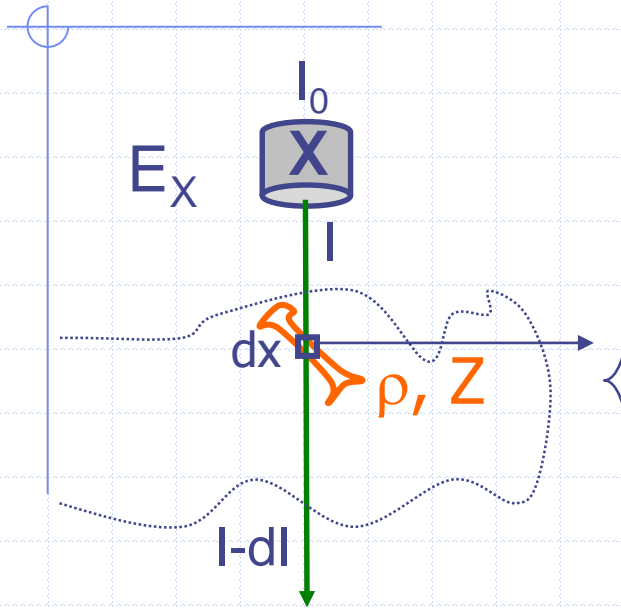
ANATOMIQUE

METABOLIQUE

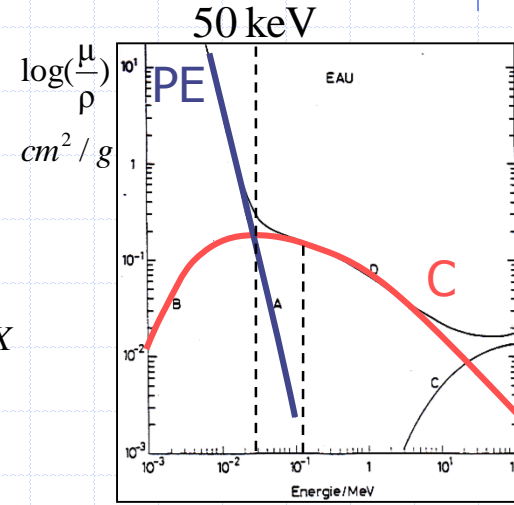
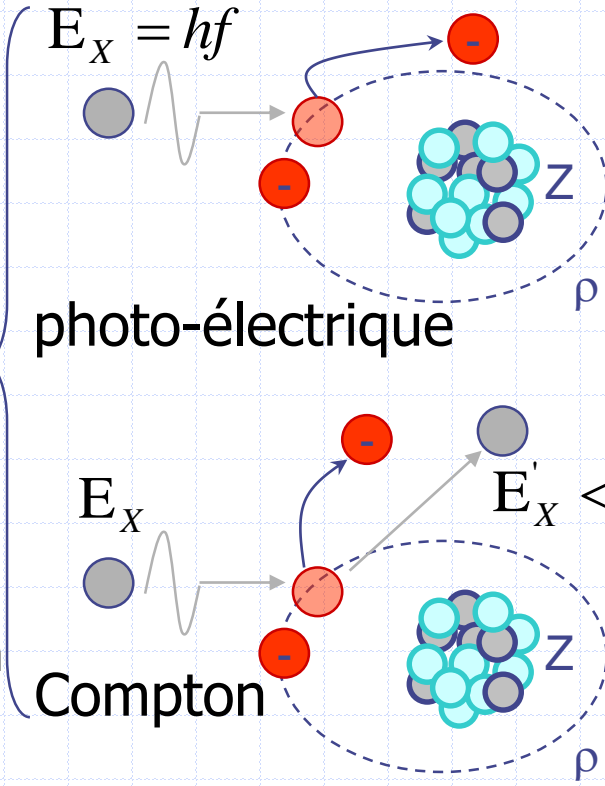
FONCTIONNELLE



# IMAGERIE DE TRANSMISSION X

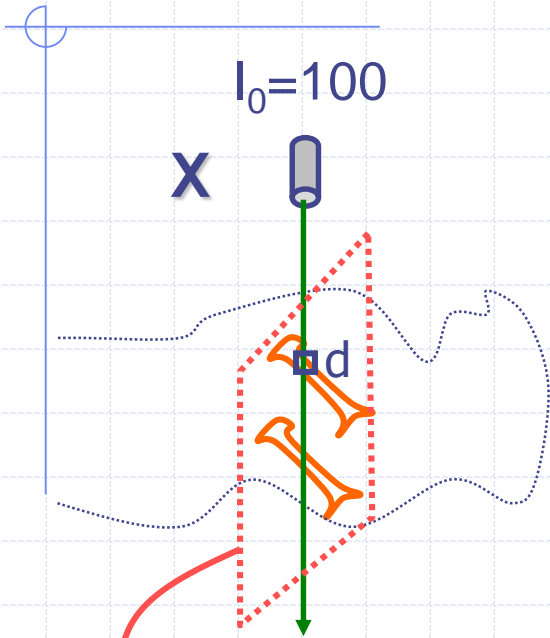


$\mu$  probabilité d'atténuation/cm  
 $\mu$  est proportionnelle  
 à la masse volumique  $\rho$



$$\mu = -\frac{dI}{I dx} \text{ cm}^{-1} \propto \rho \Rightarrow I = I_0 \cdot e^{-\mu \cdot x}$$

# Scanner X = Computed Tomography



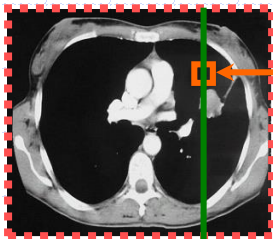
$$I_i = I_0 e^{-\sum \mu_j \cdot d} = I_0 e^{-d \cdot \sum \mu_j}$$

$$\Rightarrow p_i = \sum \mu_j = -\frac{1}{d} \ln \frac{I_i}{I_0} \text{ mesure}$$

$r_{i,j}$  = contribution du pixel  $j$  à la projection  $i$   
 paramètres géométriques connus du scanner

$$p_i = \sum r_{i,j} \cdot \mu_j ?$$

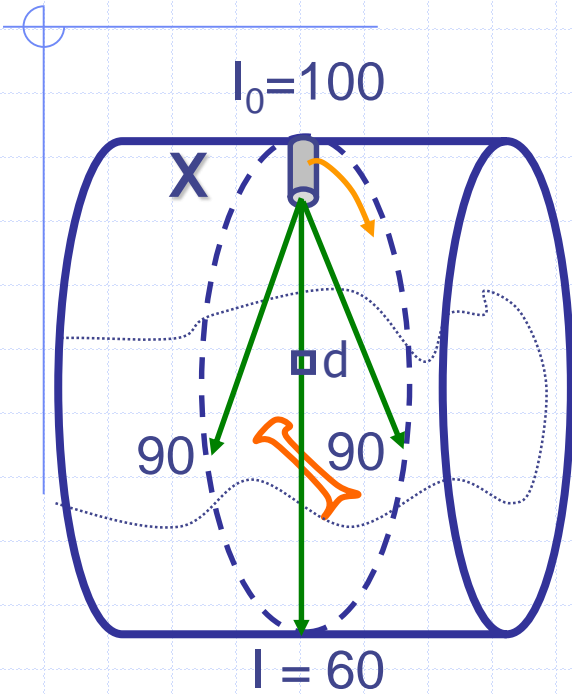
2Dx1D



$p_i$

mesure

# Scanner X = Computed Tomography



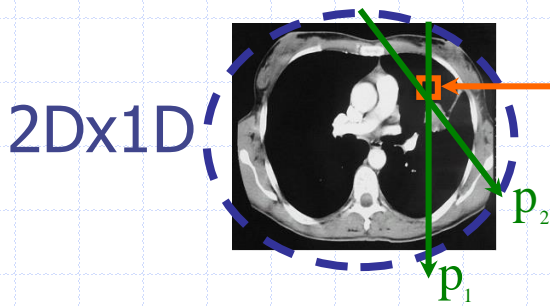
$$I_i = I_0 e^{-\sum \mu_j \cdot d} = I_0 e^{-d \cdot \sum \mu_j}$$

$$\Rightarrow p_i = \sum \mu_j = -\frac{1}{d} \ln \frac{I_i}{I_0}$$

$r_{i,j}$  = contribution du pixel  $j$  à la projection  $i$   
 paramètres géométriques connus du scanner

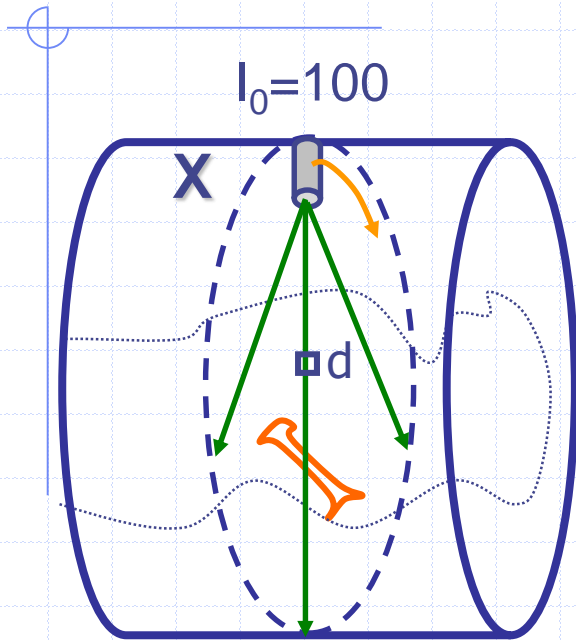
$$p_i = \sum r_{i,j} \cdot \mu_j ?$$

mesure



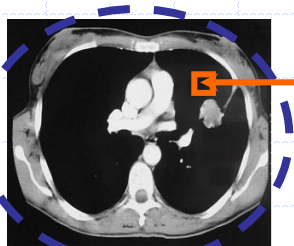
$$\begin{cases} p_1 = r_{1,1} \mu_1 + r_{1,2} \mu_2 + \dots + r_{1,n} \mu_n \\ p_2 = r_{2,1} \mu_1 + r_{2,2} \mu_2 + \dots + r_{2,n} \mu_n \\ \dots \end{cases}$$

# Scanner X = Computed Tomography



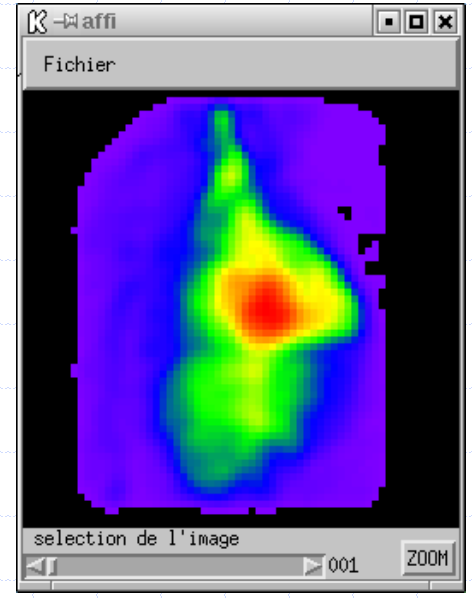
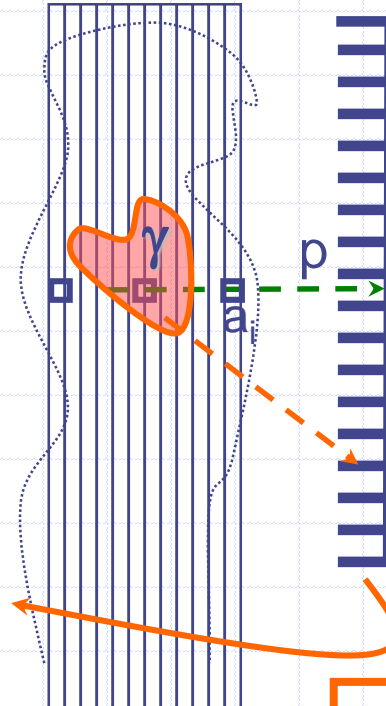
$$p_i = \sum_j r_{i,j} \mu_j, \quad i = 0 - 360^\circ$$

2Dx1D

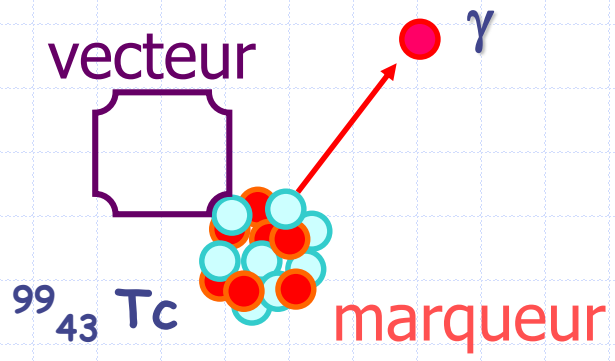


$r_{i,j}$  = contribution du pixel  $j$  à la projection  $i$

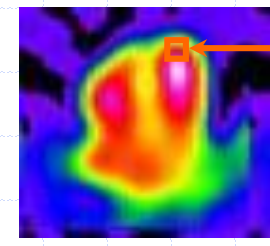
# Single Photon Emission CT



2D

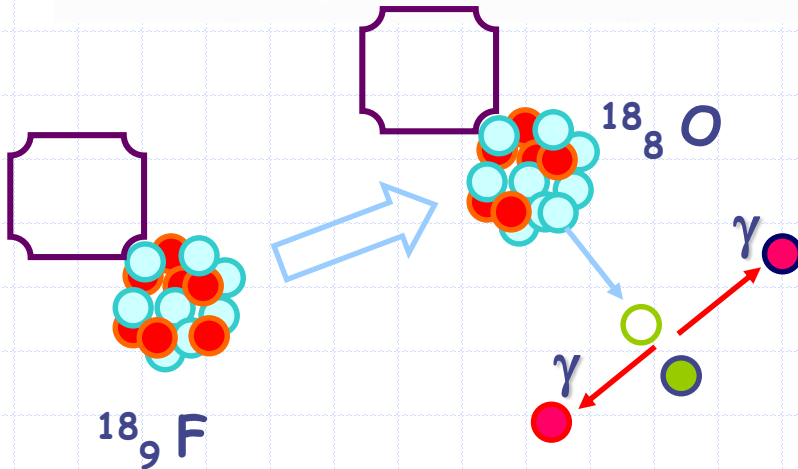
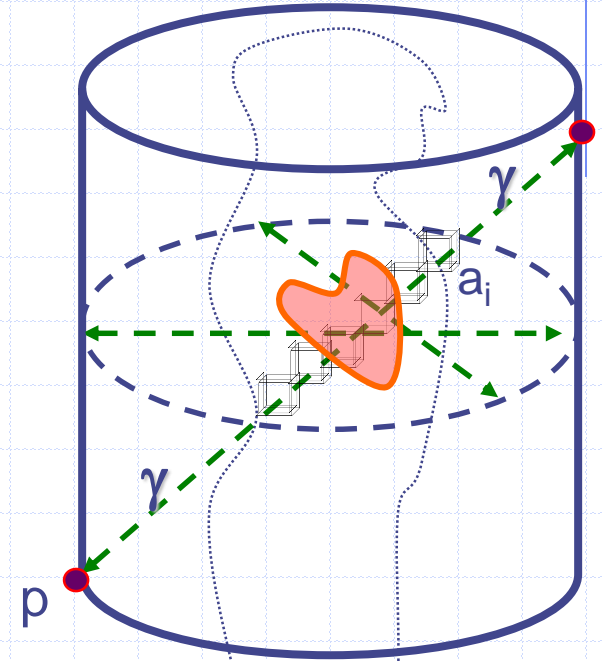


$$p_i = \sum_j r_{i,j} a_j, \quad i = 0 - 360^\circ$$

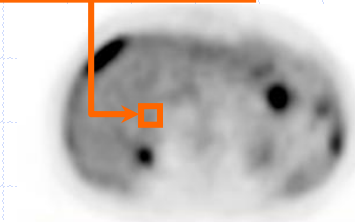


2Dx1D

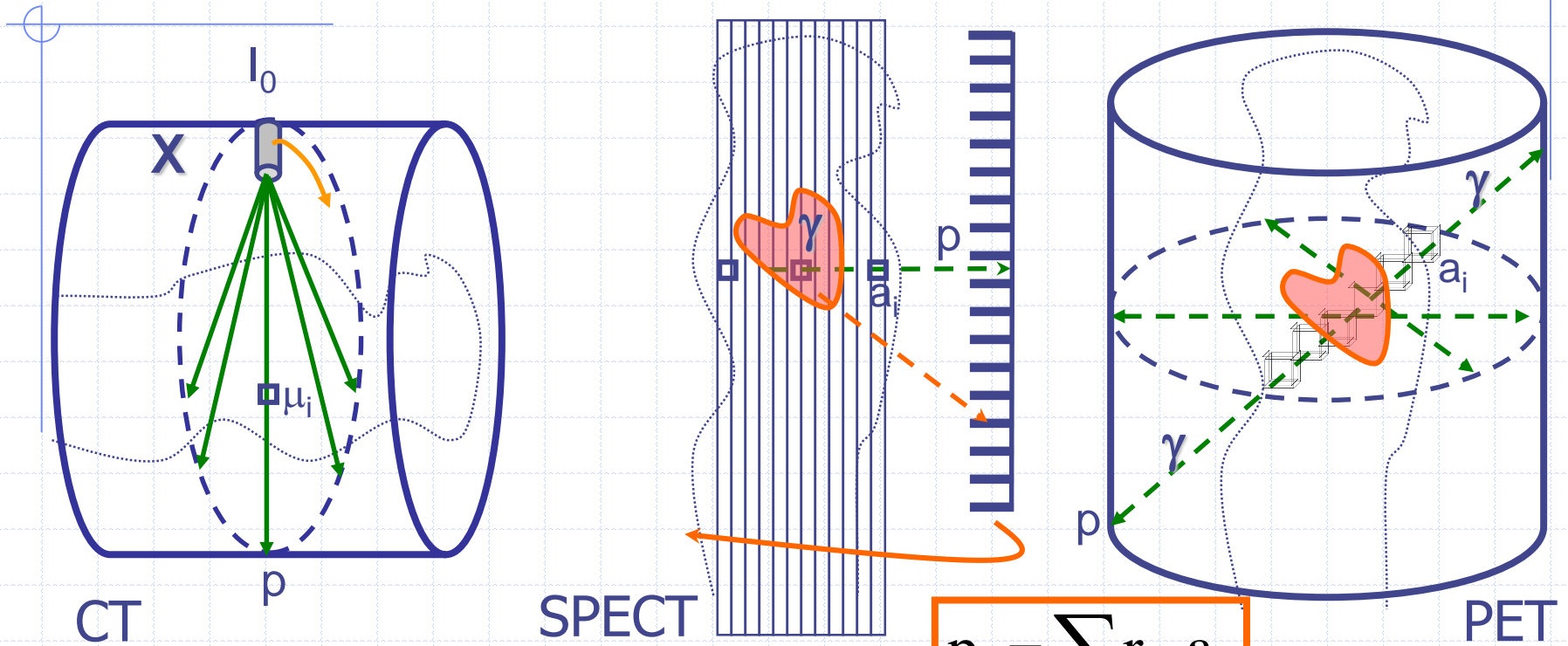
# Tomographie par Emission de Positons



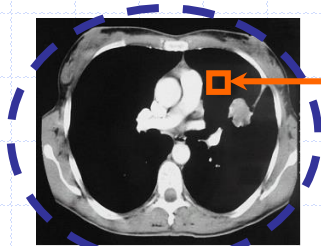
$$p_i = \sum_j r_{i,j} a_j$$



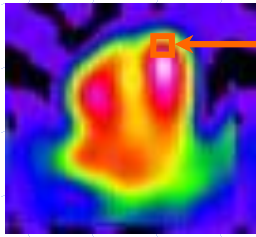
# Tomographie: problème inverse linéaire



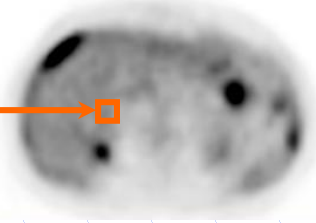
$$p_i = \sum_j r_{i,j} a_j$$



2Dx1D

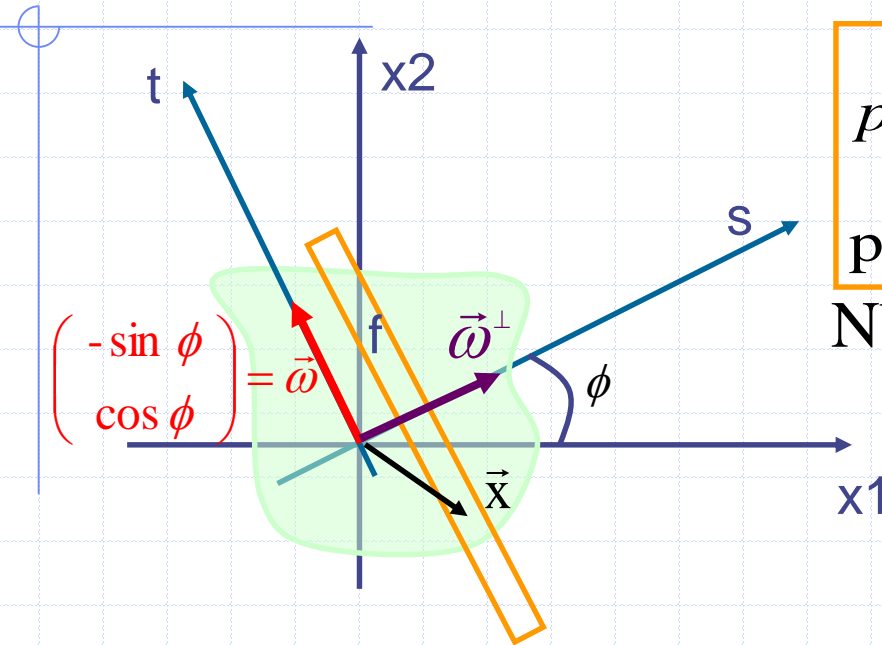


2Dx1D



3D

# Modélisation analytique



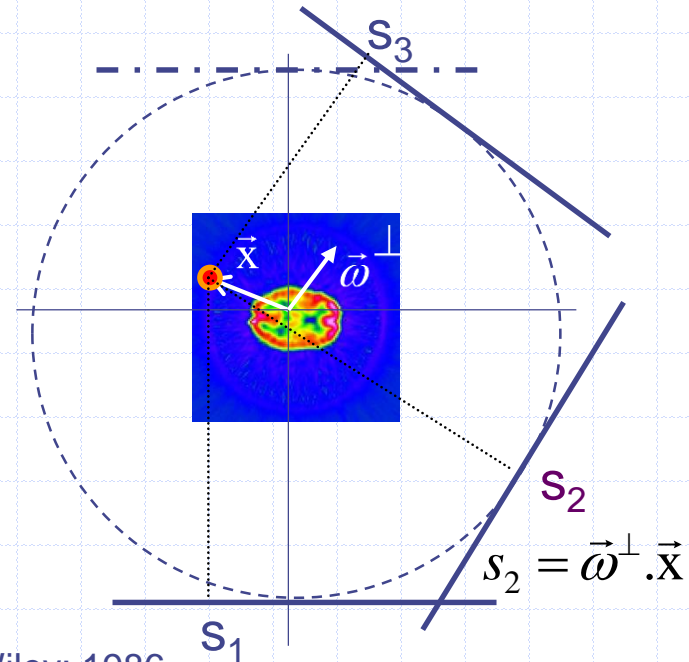
$$p(\vec{\omega}, s) = p_{\vec{\omega}}(s) = \int_t f(s\vec{\omega}^\perp + t\vec{\omega}) dt$$

$$p = Rf \quad \text{transformée de Radon}$$

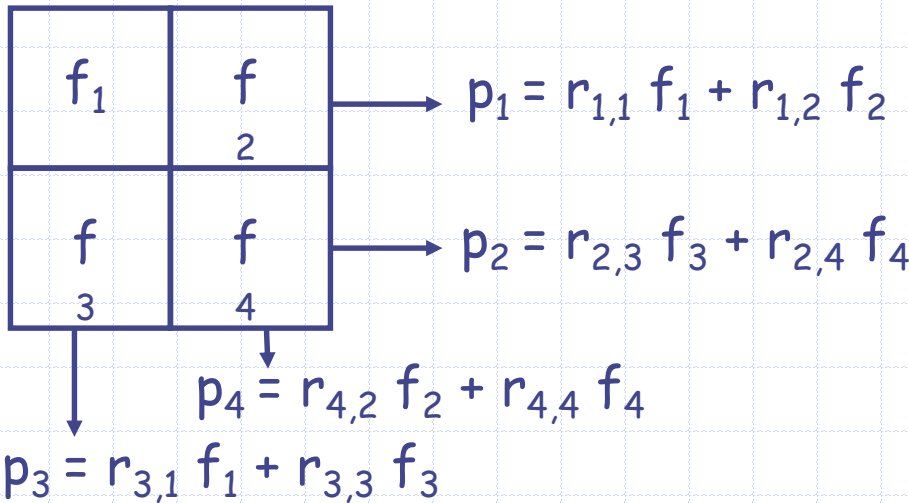
Nb:  $\vec{x} \cdot \vec{\omega}^\perp = s$  où  $\vec{x}$  se projette suivant  $\vec{\omega}$

$$(R^* p)(\vec{x}) = \int_{\phi=0}^{\pi} p(\vec{\omega}, \vec{\omega}^\perp \cdot \vec{x}) d\phi$$

rétroprojection = épandage



# Modélisation algébrique



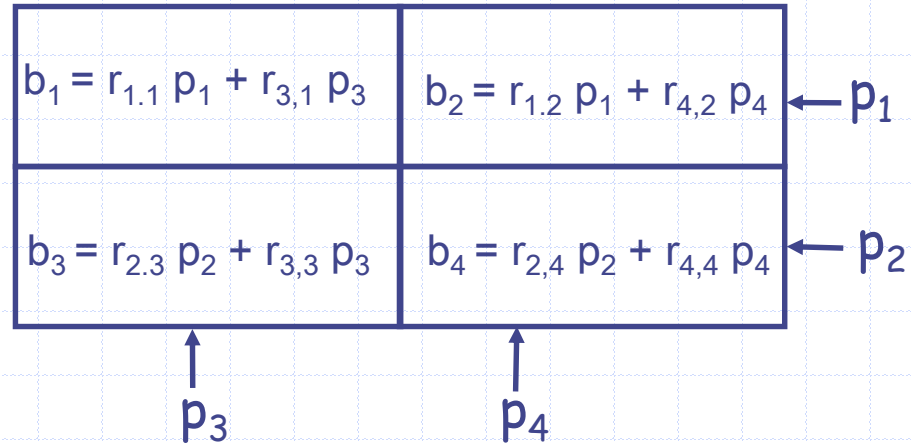
$$\begin{pmatrix} r_{1,1} & r_{1,2} & r_{1,3} & r_{1,4} \\ r_{2,1} & r_{2,2} & r_{2,3} & r_{2,4} \\ r_{3,1} & r_{3,2} & r_{3,3} & r_{3,4} \\ r_{4,1} & r_{4,2} & r_{4,3} & r_{4,4} \end{pmatrix} \cdot \begin{pmatrix} f_1 \\ f_2 \\ f_3 \\ f_4 \end{pmatrix} = \begin{pmatrix} p_1 \\ p_2 \\ p_3 \\ p_4 \end{pmatrix}$$

$r_{i,j}$  = % du pixel  $j$  intersecté par la projection  $i$

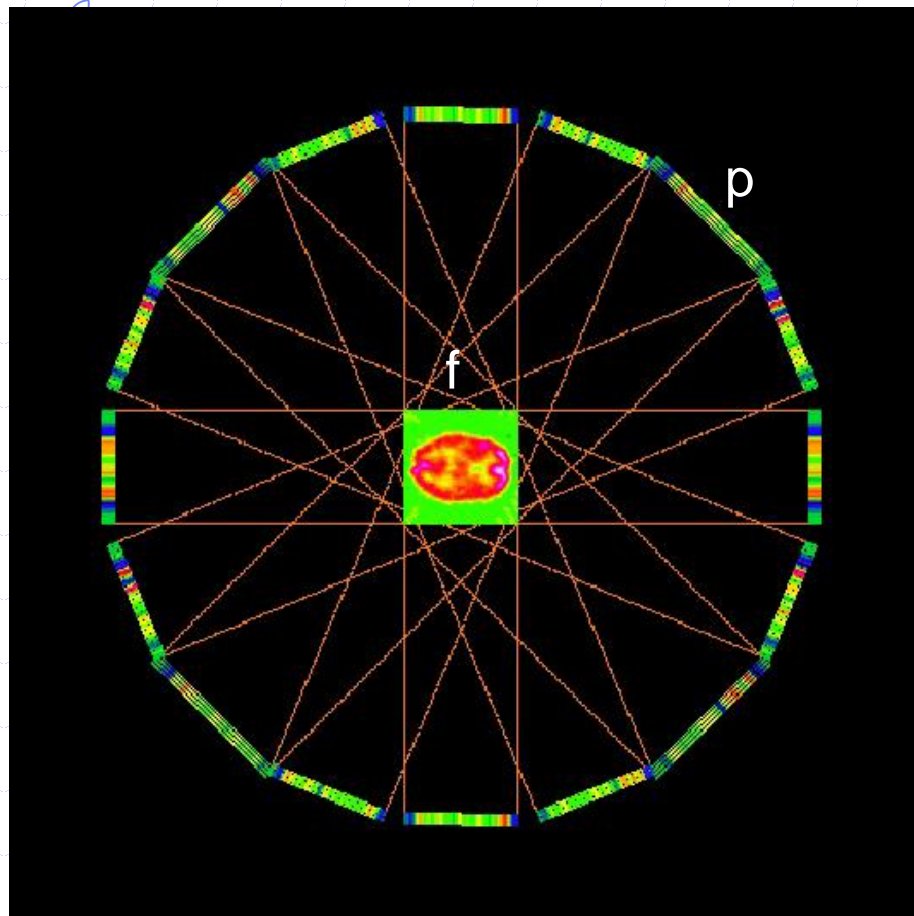
$$\mathbf{R} \cdot \vec{f} = \vec{p}$$

$$\begin{pmatrix} r_{1,1} & r_{2,1} & r_{3,1} & r_{4,1} \\ r_{1,2} & r_{2,2} & r_{3,2} & r_{4,2} \\ r_{1,3} & r_{2,3} & r_{3,3} & r_{4,3} \\ r_{1,4} & r_{2,4} & r_{3,4} & r_{4,4} \end{pmatrix} \cdot \begin{pmatrix} p_1 \\ p_2 \\ p_3 \\ p_4 \end{pmatrix} = \begin{pmatrix} b_1 \\ b_2 \\ b_3 \\ b_4 \end{pmatrix}$$

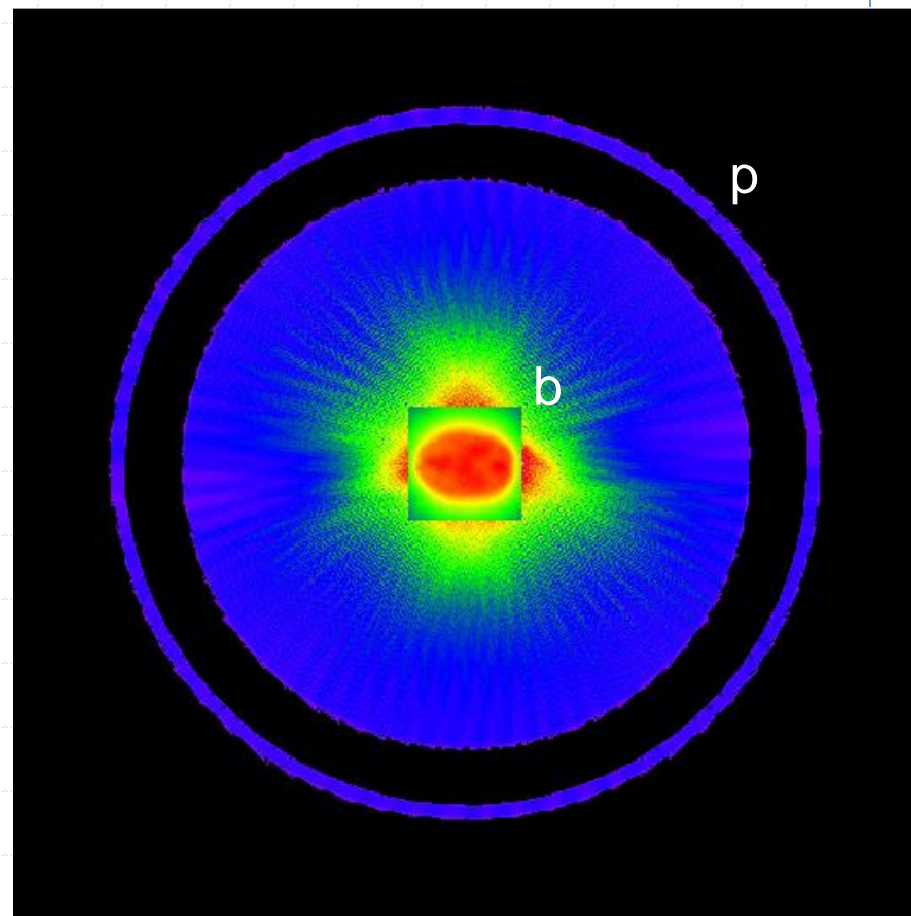
$${}^t\mathbf{R} \cdot \vec{p} = \vec{b}$$



# Projection / Rétroprojection

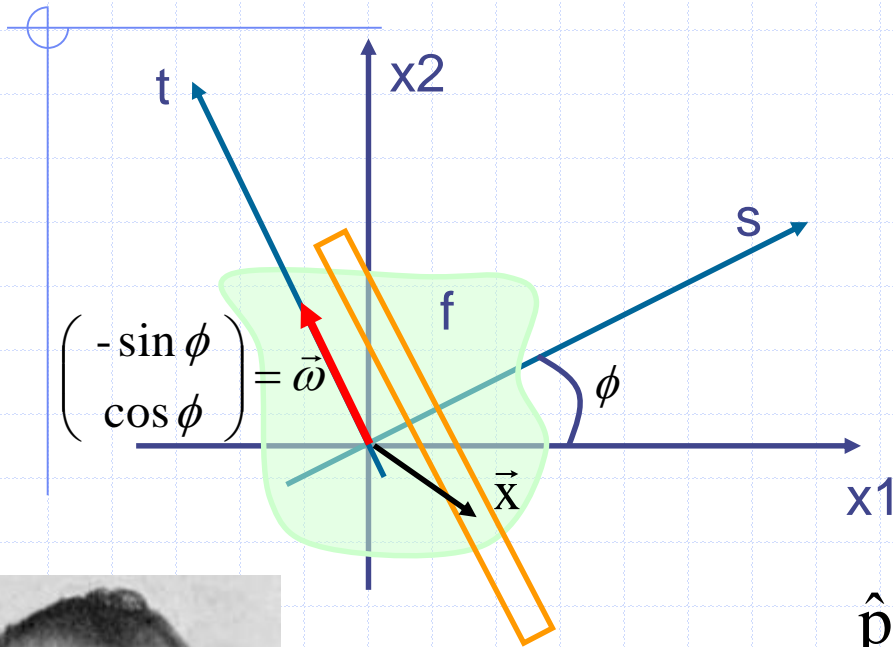


$$\mathbf{R} \cdot \vec{f} = \vec{p}$$



$${}^t\mathbf{R} \cdot \vec{p} = \vec{b}$$

# Théorème de coupe centrale



$$\begin{cases} p_{\vec{\omega}}(s) = \int_t f(s\vec{\omega}^\perp + t\vec{\omega}) dt \\ \hat{p}_{\vec{\omega}}(\sigma) = \int_s p_{\vec{\omega}}(s) \cdot e^{-i.s.\sigma} ds \end{cases}$$

$$\hat{p}_{\vec{\omega}}(\sigma) = \int_s \int_t f(s\vec{\omega}^\perp + t\vec{\omega}) e^{-i.s.\sigma} dt ds$$

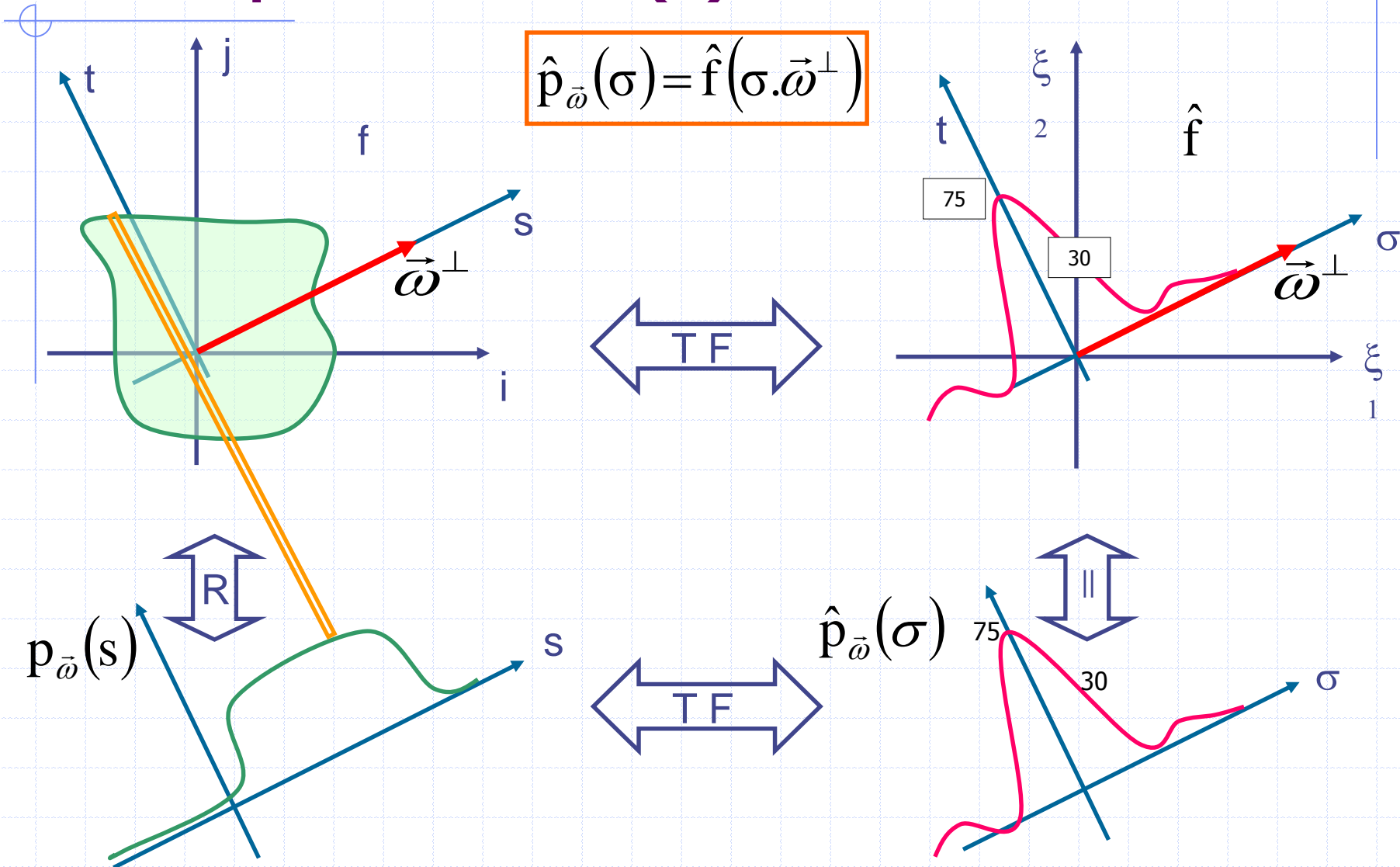
$$\hat{p}_{\vec{\omega}}(\sigma) = \iint f(\vec{x}) e^{-i.\sigma \vec{x} . \vec{\omega}^\perp} d\vec{x}$$

$$\hat{p}_{\vec{\omega}}(\sigma) = \hat{f}(\sigma \cdot \cos \phi, \sigma \cdot \sin \phi) = \hat{f}(\sigma \cdot \vec{\omega}^\perp)$$

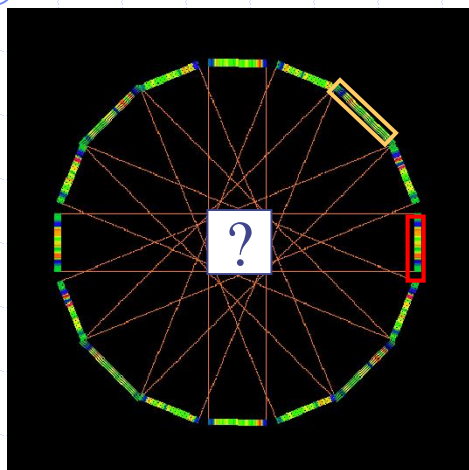


J. Radon  
1887-1956

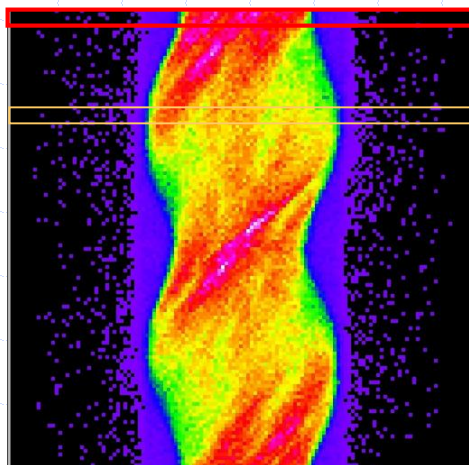
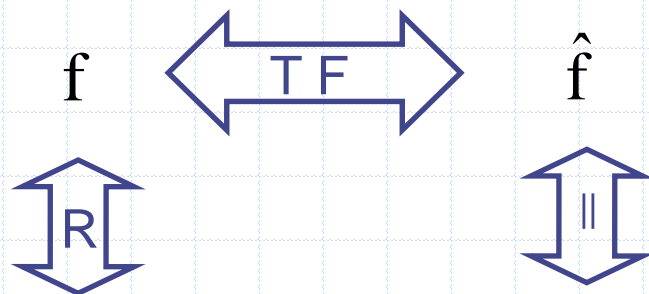
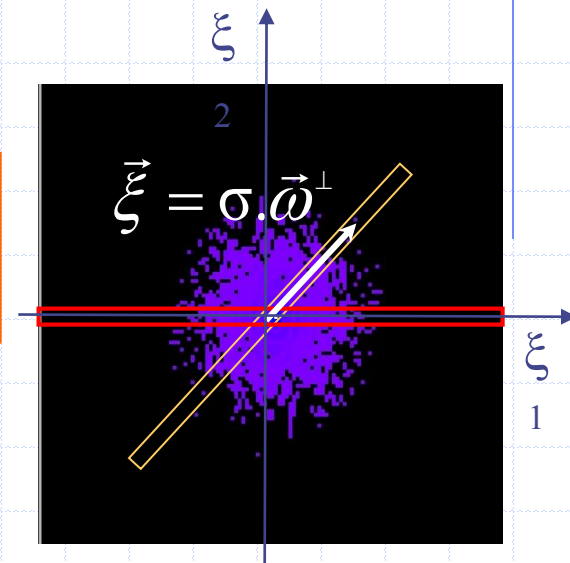
# Interprétation (I)



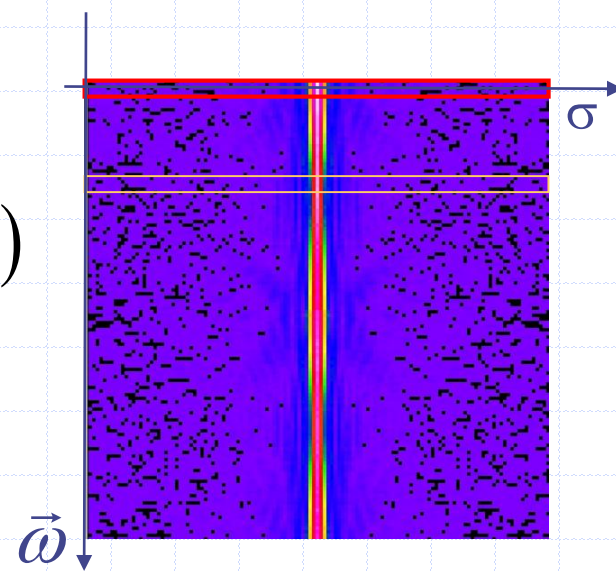
# Interprétation (II)



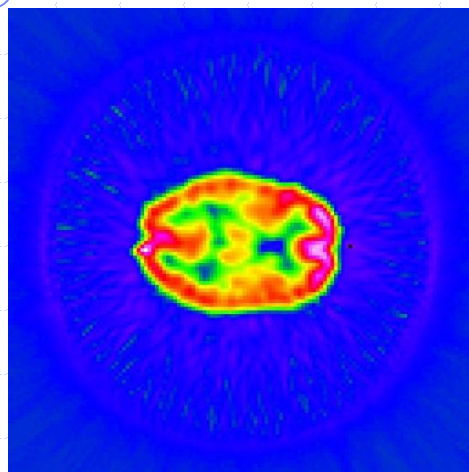
$$\hat{p}_{\vec{\omega}}(\sigma) = \hat{f}(\sigma \cdot \vec{\omega}^\perp)$$



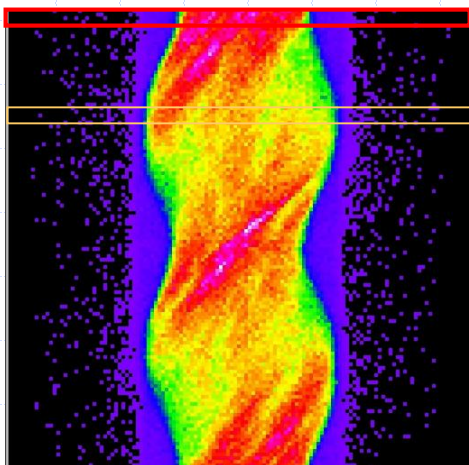
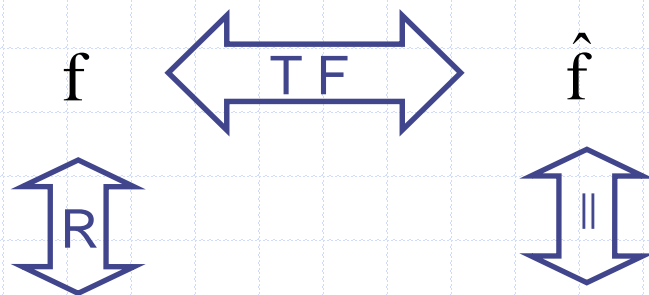
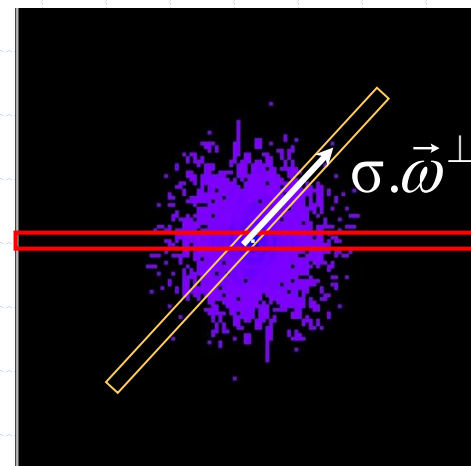
$$p_{\vec{\omega}}(s) \xleftrightarrow{\text{TF}} \hat{p}_{\vec{\omega}}(\sigma)$$



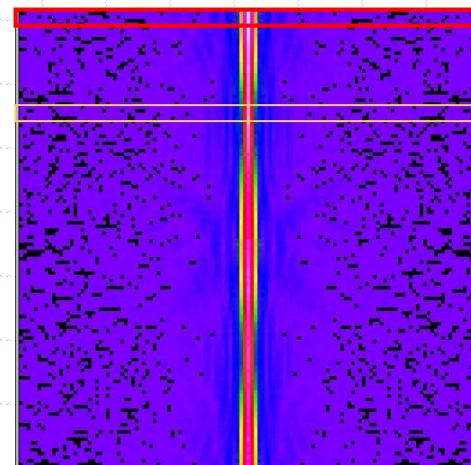
# Interprétation (II)



$$\hat{p}_{\vec{\omega}}(\sigma) = \hat{f}(\sigma \cdot \vec{\omega}^\perp)$$



$p_{\vec{\omega}}(s)$   $\longleftrightarrow$  TF  $\longleftrightarrow$   $\hat{p}_{\vec{\omega}}(\sigma)$



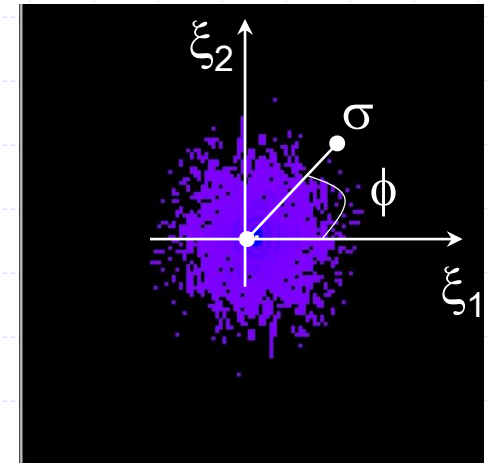
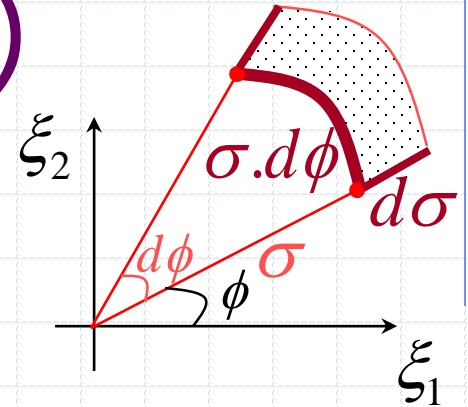
# Rétroprojection filtrée (I)

$$f(\vec{x}) = \iint \widehat{f}(\vec{\xi}) e^{i\vec{x} \cdot \vec{\xi}} d\vec{\xi}$$

$$f(\vec{x}) = \int_{\phi=0}^{\pi} \int_{\sigma=-\infty}^{\sigma=+\infty} \widehat{f}(\sigma \vec{\omega}^{\perp}) e^{i\sigma \vec{\omega}^{\perp} \cdot \vec{x}} |\sigma| d\sigma d\phi$$

$$f(\vec{x}) = \int_{\phi=0}^{\pi} \int_{\sigma=-\infty}^{\sigma=+\infty} \widehat{p}_{\vec{\omega}}(\sigma) |\sigma| e^{i\sigma \vec{\omega}^{\perp} \cdot \vec{x}} d\sigma d\phi$$

$$\underbrace{\text{TF}_s^{-1} [\widehat{p}_{\vec{\omega}} \cdot \text{abs}]}_{p_{\vec{\omega}}^f} (\vec{\omega}^{\perp} \cdot \vec{x})$$

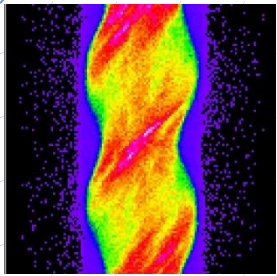


$$f(\vec{x}) = (\mathbf{R}^* p^f)(\vec{x})$$



J. Radon  
1887-1956

# Rétroprojection filtrée (II)



$$f(\vec{x}) = (\mathbf{R}^* p^f)(\vec{x})$$

Projections sur 180°

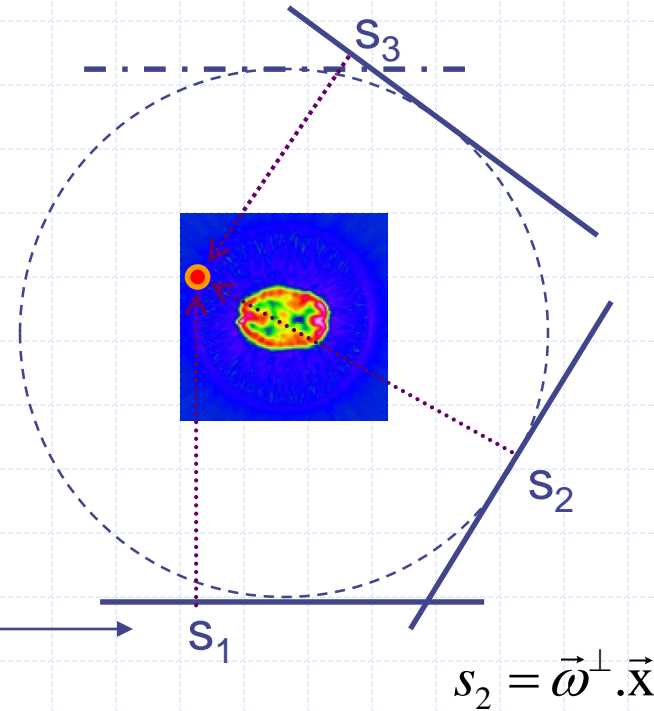
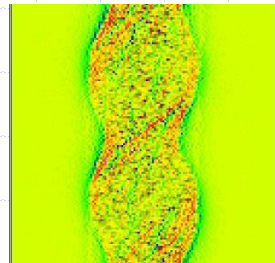
$p_{\vec{\omega}}$

$\hat{p}_{\vec{\omega}}$

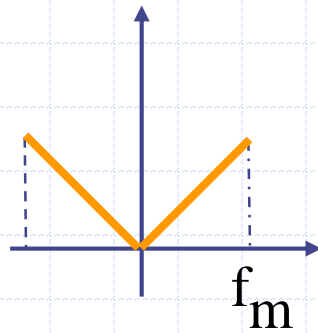
abs

$x$

$$\text{TF}_s^{-1}[\hat{p}_{\vec{\omega}} \cdot \text{abs}] = p_{\vec{\omega}}^f$$



# Rétroprojection filtrée (III)



$$RL(x) = \frac{f_{\max} \sin(2\pi \cdot f_{\max} \cdot x)}{\pi \cdot x} - \frac{1 - \cos(2\pi \cdot f_{\max} \cdot x)}{2\pi^2 \cdot x^2}$$

$$f_{\max} = \frac{1}{2 \cdot d} = \frac{f_{\text{éch.}}}{2}$$

d = taille des pixel

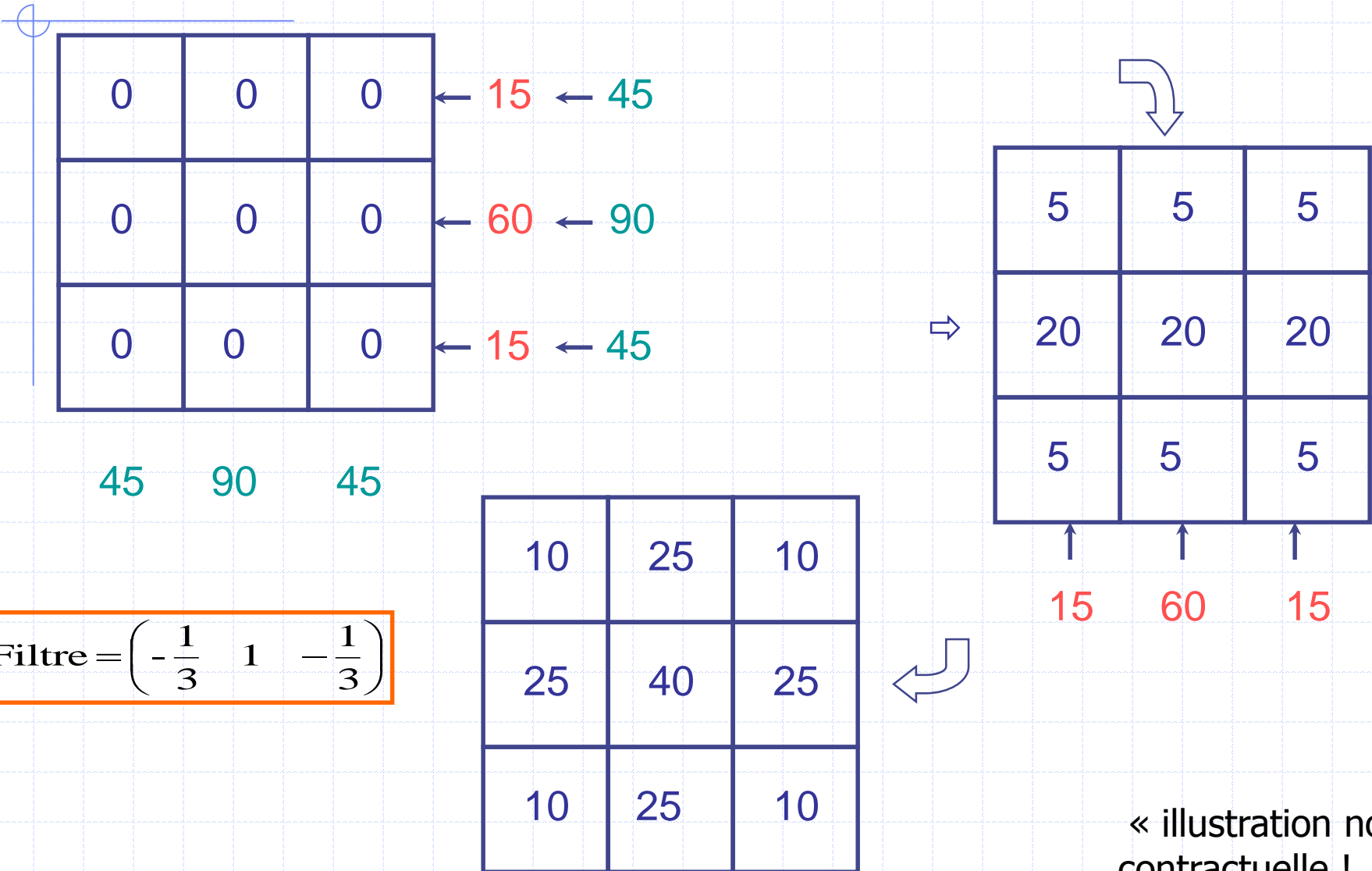
$$p_{\vec{\omega}}^f = \text{TF}_s^{-1} [\hat{p}_{\vec{\omega}} \cdot \text{abs}]$$

$$p_{\vec{\omega}}^f = p_{\vec{\omega}} * \text{RL}$$

$$RL(k \cdot d) = \begin{cases} \frac{1}{4d^2} & k = 0 \\ 0 & k \neq 0 \text{ pair} \\ -\frac{1}{(k\pi \cdot d)^2} & k \text{ impair} \end{cases}$$

Exemple pour  $d = \frac{1}{2}$ , on obtient le filtre:  $\begin{pmatrix} 0 & -\frac{1}{2,5} & 1 & -\frac{1}{2,5} & 0 \end{pmatrix}$

# Rétroprojection filtrée (IV)

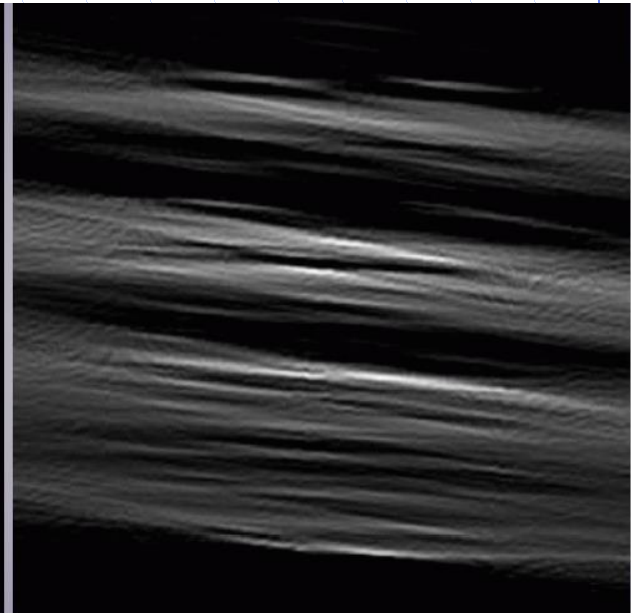
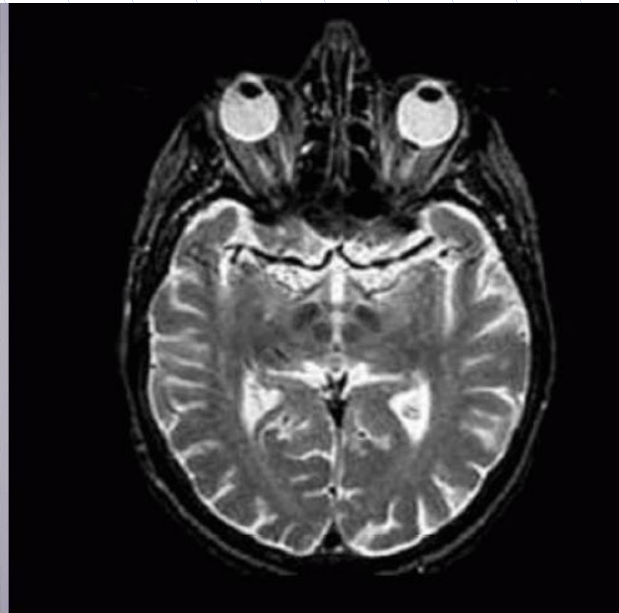


« illustration non contractuelle !... »

# Rétroprojection filtrée (V)



$$R^* p$$



$$R^* TF_s^{-1} [\hat{p} . abs]$$

# Limites des techniques analytiques

## ◆ Nécessité de données sur $180^\circ$

- ◆ Problème important en TEP 3D.
- ◆ L'inversion directe ou la RPF ne fonctionnent pas sur des données tronquées.

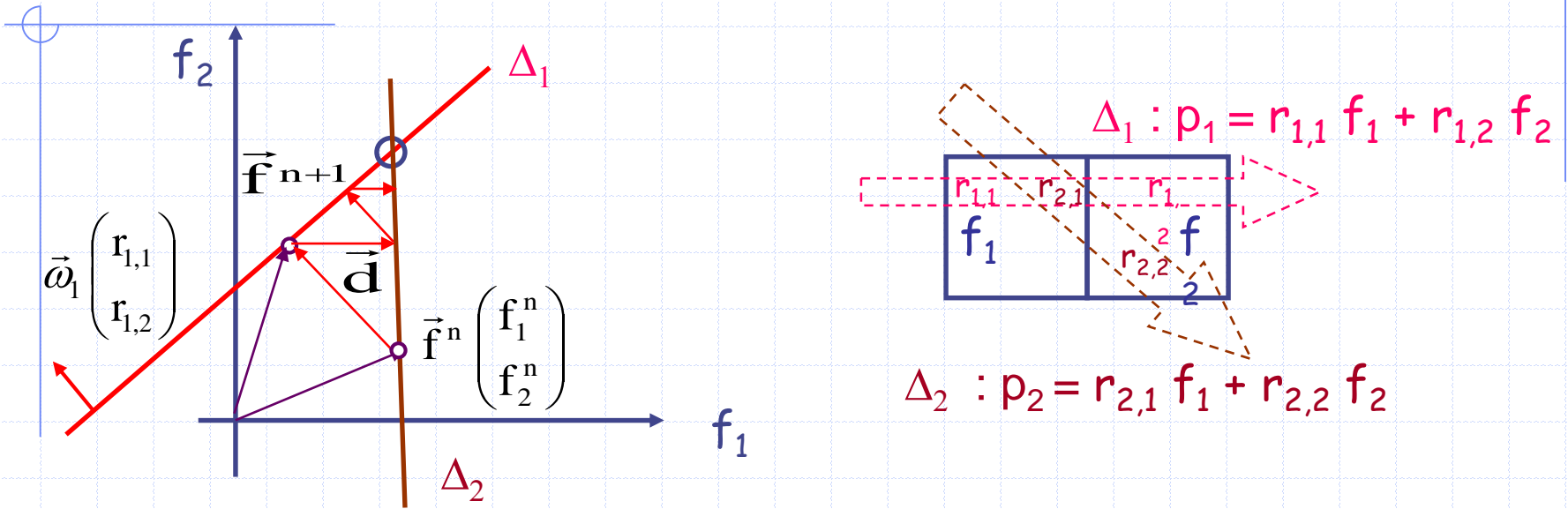
## ◆ Prise en compte des artefacts en SPECT et PET :

- ◆ Dans le théorème de la coupe centrale,  $f(x)$  et non pas  $f(x,s,\phi)$
- ◆ Difficulté majeure d'introduire des facteurs du type  $\exp(-\mu L_{x,s,\phi})$
- ◆ D'où un problème pour corriger les artefacts d'atténuation (photoélectrique, Compton).
- ◆ En revanche, une déconvolution de la réponse impulsionnelle est faisable.

## ◆ Ajustement de la fréquence de coupure délicate

- ◆ Nécessité d'un filtre passe-bas associé au filtre valeur absolue

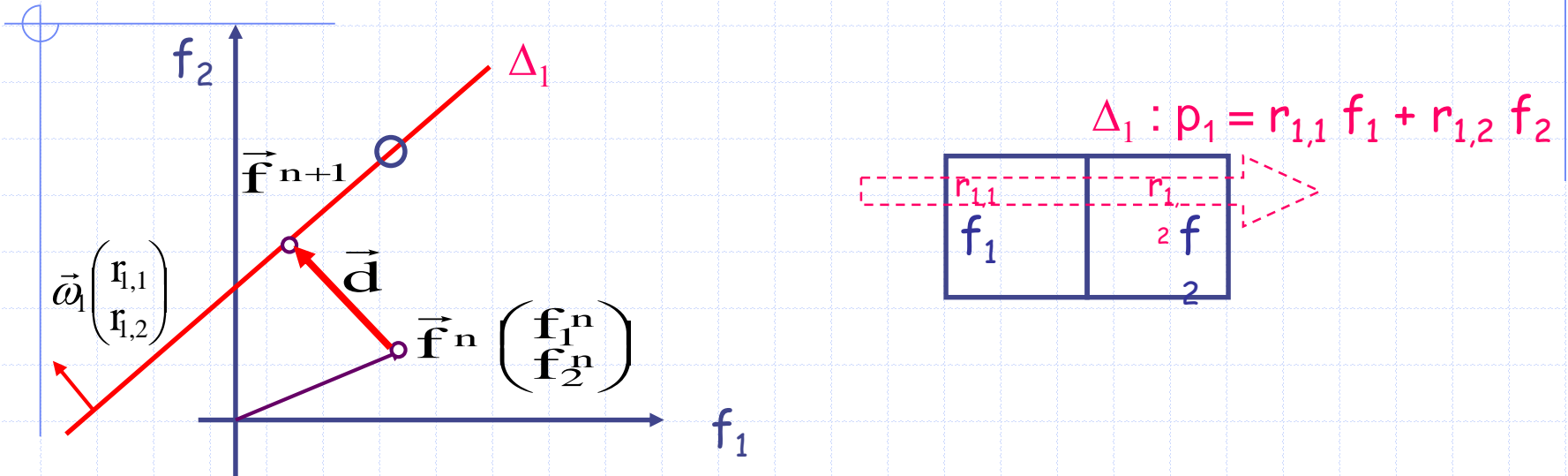
# Algebraic Reconstruction Technique (I)



S. Kaczmarz  
1895-1940

On construit une suite de coupes  $\vec{f}^n$  en projetant chaque itéré sur l'un puis l'autre hyperplan.

# Algebraic Reconstruction Technique (II)



La distance  $d$  d'un point  $f^n$  à une droite  $\Delta_1$  est :

$$d = \frac{p_1 - \vec{f}^n \cdot \vec{\omega}_1}{\|\vec{\omega}_1\|}$$

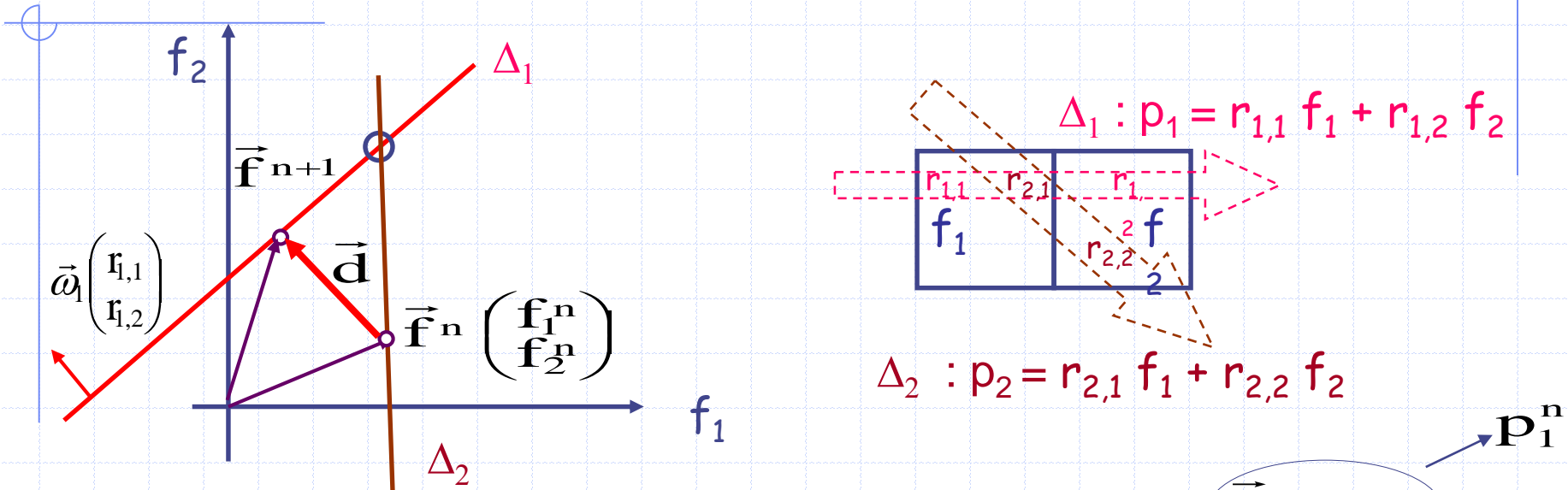
$$d = \frac{p_1 - \vec{f}^n \cdot \vec{\omega}_1}{\|\vec{\omega}_1\|} = \frac{p_1 - p_1^n}{\|\vec{\omega}_1\|}$$

$p_1^n = r_{1,1} f_1^n + r_{1,2} f_2^n$ , projection qui serait mesurée si  $f^n$  était la solution



S. Kaczmarz  
1895-1940

# Algebraic Reconstruction Technique (II)



$$\vec{f}^{n+1} = \vec{f}^n + d \frac{\vec{\omega}_1}{\|\vec{\omega}_1\|}$$

$$d = \frac{p_1 - \vec{f}^n \cdot \vec{\omega}_1}{\|\vec{\omega}_1\|}$$

$\rightarrow p_1^n$

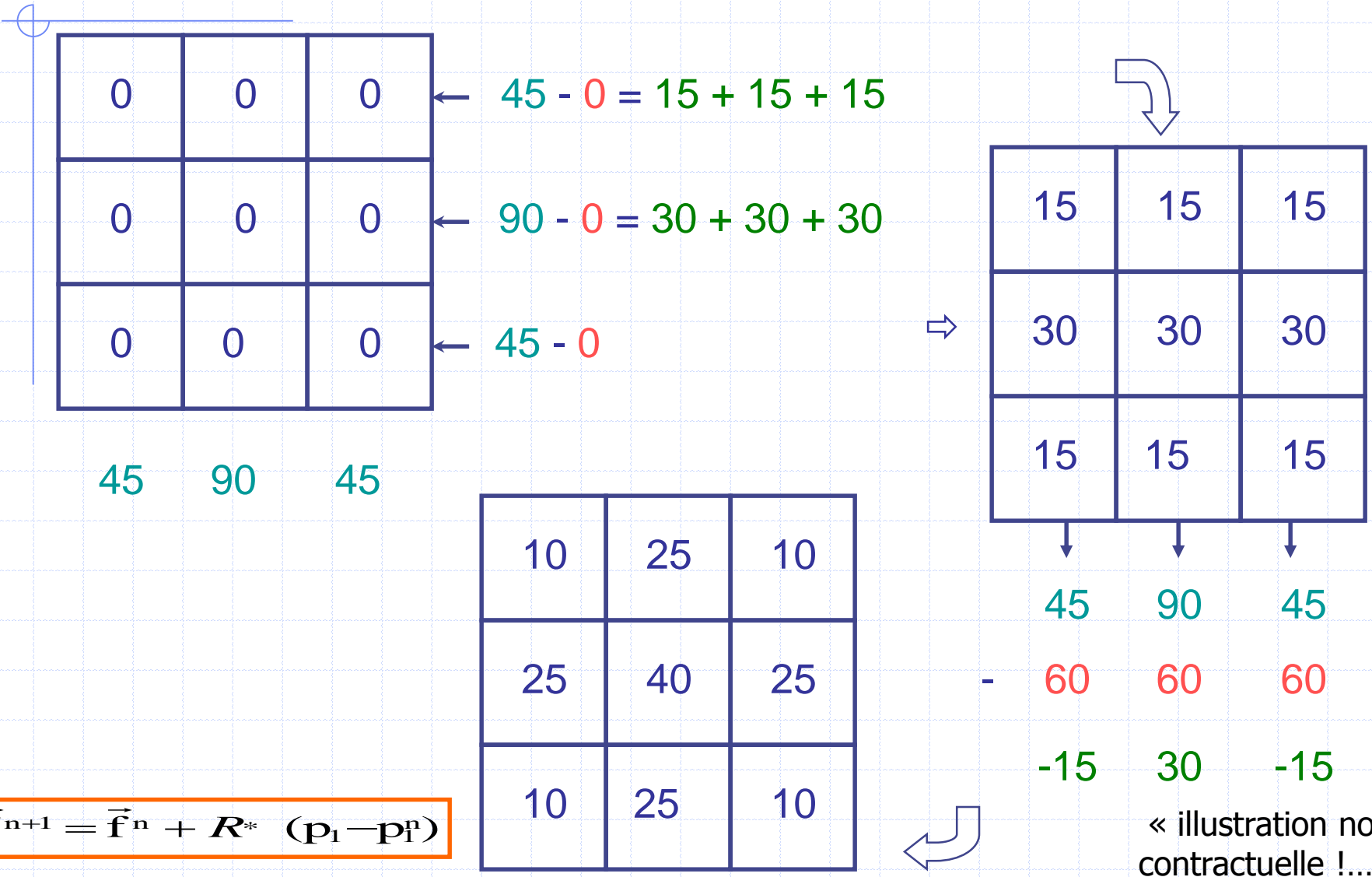
$$\vec{f}^{n+1} = \vec{f}^n + \frac{p_1 - p_1^n}{\|\vec{\omega}_1\|^2} \vec{\omega}_1$$

$$\vec{f}^{n+1} = \vec{f}^n + R^* (p_1 - p_1^n)$$

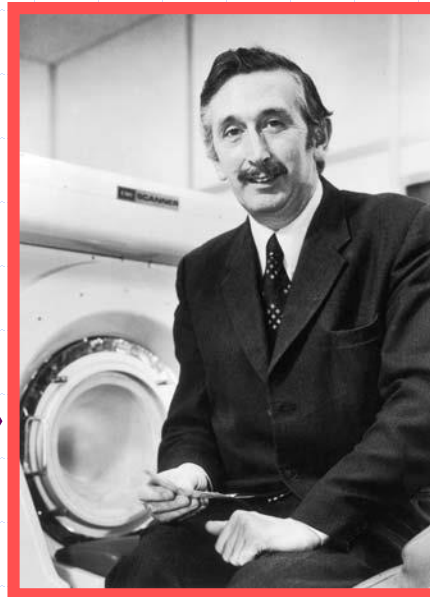


S. Kaczmarz  
1895-1940

# Algebraic Reconstruction Technique (III)



# Conclusion



G. Hounsfield 1919-2004



J. Radon  
1887-1956

S. Kaczmarz  
1895-1940

$$\hat{p}_{\vec{\theta}}(\sigma) = \hat{f}(\sigma, \vec{\theta})$$

$$f(\vec{x}) = (R^* p^f)(\vec{x})$$

$$\vec{f}^{n+1} = \vec{f}^n + R^*(p_1 - p_1^n)$$

